

12,13

Ближнеполевая магнитооптика и микроскопия в резонансном рассеянии света линейным нанозондом

© В.А. Кособукин

Физико-технический институт им. А.Ф. Иоффе РАН,
Санкт-Петербург, Россия

E-mail: Vladimir.Kosobukin@mail.ioffe.ru

(Поступила в Редакцию 6 июля 2011 г.)

Представлена теория полярного ближнеполевого магнитооптического эффекта Керра в рассеянии света линейным нанозондом. В рамках метода функций Грина получено решение задачи ближнеполевой наноманнитооптики и безапертурной сканирующей микроскопии латеральных магнитных неоднородностей (доменов) нанометрового масштаба. Считается, что зонд в виде нанопроволоки и образец с приповерхностным магнитным нанослоем могут поддерживать поверхностные плазмоны. Электромагнитное взаимодействие нанопроволоки с поверхностью образца (поляризуемость комплекса зонд + заряды изображения) учитывается самосогласованно. Магнитоиндуцированная поляризация ультратонкого приповерхностного слоя учитывается в линейном приближении по намагниченности, перпендикулярной магнитному слою. Исследованы поляризационные, спектральные и угловые характеристики рассеяния света, модулированного намагниченностью и резонансно усиленного поверхностными плазмонами. Получена зависимость ближнеполевого магнитооптического отклика от расстояния между зондом и доменом вдоль поверхности образца. Оценено разрешение сканирующей ближнеполевой микроскопии и указаны факторы, влияющие на него.

1. Введение

Явления ближнеполевой оптики, для которых характерно использование свойств электромагнитных мод с субволновым ограничением, вызывают все возрастающий научный и практический интерес [1,2]. Так, ближнеполевая оптическая микроскопия позволяет наблюдать оптический контраст нанометрового масштаба при сканировании зондом латерально неоднородной приповерхностной области образца [1,3]. Сканирующая ближнеполевая магнитооптическая микроскопия обеспечивает изображение магнитных нанообъектов в поляризованном свете [4,5]. Чтобы усилить чрезвычайно слабые ближнеполевые эффекты, обычно их возбуждают через состояния поверхностных (локальных) плазмонов [4–6].

Существующая сканирующая ближнеполевая микроскопия имеет дело с квазиточечными зондами [3], применительно к этой ситуации развивается и теория микроскопии [1,3]. Изображение объектов, наблюдаемое зондовым методом, может зависеть от особенностей эксперимента, таких как тип зонда и поле между зондом и поверхностью. Подобные частные вопросы микроскопии были предметом большинства теоретических работ, например [1,3], в которых выполнялись трудоемкие численные расчеты, но не решалась в полном объеме прямая задача микроскопии. Ближнеполевая магнитооптика обсуждалась в сравнительно небольшом числе работ, которые тоже относятся к квазиточечным зондам [7]. Теоретические работы, начиная с [8], были ориентированы на эксперименты, в которых ближнеполевой магнитооптический отклик формировался либо концом волоконно-оптического зонда [4], либо малой металлической частицей [5]. Было показано, что магнитоопти-

ческая модуляция интенсивности рассеянного света, его эллиптичность и вращение резонансно усиливаются при возбуждении через поверхностные плазмоны [4–6,9,10]. Ближнеполевой оптике с линейными зондами посвящено несколько теоретических работ. Так, в [11] вычислялась интенсивность рассеяния света на выступах поверхности стекла в присутствии золотого наноцилиндра. В работах [12,13] были рассмотрены ближнеполевые магнитооптические эффекты в поле нанопроволоки с учетом их усиления плазмонами.

В настоящей работе представлена общая теория ближнеполевой магнитооптики при упругом рассеянии света с помощью линейного зонда. Рассматривается полярный магнитооптический эффект Керра в поле линейного зонда, т.е. в иных условиях, чем в случае квазиточечного зонда [7]. Ближнеполевой отклик исследуется в зависимости от расстояния между зондом и магнитной неоднородностью, что соответствует сканирующей ближнеполевой магнитооптической микроскопии. Сканирование латерально неоднородной намагниченности линейным нанозондом рассматривается по аналогии со схемой, реализованной ранее в микроскопе с квазиточечным зондом [5,8]. Результаты сравниваются со случаем продольной намагниченности [12].

Статья построена следующим образом. В разделе 2 дана постановка задачи рассеяния света в многослойной среде с диэлектрическими и магнитными нанонеоднородностями, а в разделе 3 представлено ее общее решение. Модели линейного нанозонда и латерально неоднородной намагниченности описаны в разделах 4 и 5. Наблюдаемые магнитооптические величины получены в разделе 6, численно анализируются в разделе 7, выводы содержатся в разделе 8.

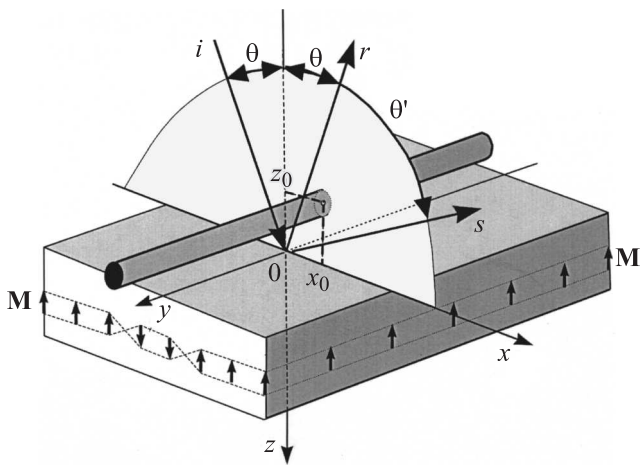


Рис. 1. Геометрия магнитооптического рассеяния света через ближнее поле линейного зонда: падающая (*i*), зеркально отраженная (*r*) и рассеянная (*s*) волны.

2. Модель и общая теория

Модель многослойной среды с линейным зондом показана на рис. 1. В отсутствие зонда и намагниченности среда характеризуется изотропным диэлектрическим тензором с компонентами $\delta_{\alpha\beta}\epsilon^0(z)$, где $\delta_{\alpha\beta}$ — символ Кронекера с декартовыми индексами α и β , а функция $\epsilon^0(z)$ равна ϵ_1 при $z < 0$, ϵ_2 при $z > 0$. Линейный зонд, находящийся в среде 1, моделируется бесконечным тонким цилиндром, который параллелен границе раздела сред и оси *y*. Материал цилиндра имеет проницаемость ϵ , а его радиус *a* удовлетворяет условию $k_0 a \ll 1$, где $k_0 = \omega/c$, $2\pi/k_0$ — длина световой волны в вакууме на частоте ω .

На поверхность $z = 0$ из среды 1 под углом θ падает монохроматическая волна

$$\mathbf{E}_\lambda^{\text{inc}}(\boldsymbol{\rho}, \omega) = \mathbf{e}_\lambda E_\lambda^{\text{inc}}(Q, \omega) e^{i\mathbf{K}\boldsymbol{\rho}}. \quad (1)$$

Здесь $\boldsymbol{\rho} = (x, z)$, $\mathbf{K} = q(\mathbf{e}_x \sin \theta + \mathbf{e}_z \cos \theta)$, $Q = q \sin \theta$, $q = \sqrt{\epsilon_1} k_0$, \mathbf{e}_λ — орт линейной поляризации λ , равный $\mathbf{e}_p = \mathbf{e}_x \cos \theta - \mathbf{e}_z \sin \theta$ для волны с поляризацией *p* и $\mathbf{e}_s = \mathbf{e}_y$ для волны с поляризацией *s*. Ось цилиндра *y* имеет в плоскости падения *xz* координаты $\boldsymbol{\rho}_0 = (x_0, z_0)$, где $|z_0| \ll 1/k_0$ для ближнеполевого зондирования. При рассеянии волны (1) на цилиндре компонента волнового вектора вдоль его оси остается равной нулю, волны являются функциями $\boldsymbol{\rho}$, а плоскость рассеяния совпадает с плоскостью падения.

Наша задача — исследовать рассеяние света $i \rightarrow s$ нанозондом и латерально неоднородной намагниченностью $\mathbf{M} \parallel \mathbf{e}_z$ (рис. 1), характерной для ультратонких магнитных слоев в матрицах благородных металлов [6,10]. В отсутствие зонда однородная намагниченность с такой ориентацией соответствует полярному магнитооптическому эффекту Керра в зеркально отраженном свете ($i \rightarrow r$). В задаче ближнеполевой магнитооптической

микроскопии отклик рассматривается в зависимости от координаты зонда x_0 вдоль поверхности образца *xу*.

Задача решается методом функций Грина [14] на основе следующих уравнений электродинамики:

$$\sum_\mu \left[\left(\sum_\nu \text{rot}_{\alpha\nu} \text{rot}_{\nu\mu} \right) - \epsilon^0(z) k_0^2 \delta_{\alpha\mu} \right] \times \begin{Bmatrix} E_\mu^0(\boldsymbol{\rho}) \\ G_{\mu\beta}^0(\boldsymbol{\rho}, \boldsymbol{\rho}') \\ E_\mu(\boldsymbol{\rho}) \end{Bmatrix} = 4\pi k_0^2 \begin{Bmatrix} 0 \\ \delta_{\alpha\beta} \delta(\boldsymbol{\rho} - \boldsymbol{\rho}') \\ P_\alpha^I(\boldsymbol{\rho}) + P_\alpha^{II}(\boldsymbol{\rho}) \end{Bmatrix}. \quad (2)$$

Здесь $\text{rot}_{\alpha\nu} = \sum_\beta e_{\alpha\beta\nu} \partial/\partial\rho_\beta$ и $e_{\alpha\beta\nu}$ — компоненты единичного антисимметричного псевдотензора.

Диэлектрическая функция $\epsilon^0(z)$, однородная вдоль поверхности, относится к невозмущенной среде (зонд и намагниченность отсутствуют). Для нее из уравнений нулевого приближения (2) и (3) находим электрическое поле $\mathbf{E}^0(\boldsymbol{\rho})$ и тензорную функцию Грина $\hat{G}^0(\boldsymbol{\rho}, \boldsymbol{\rho}') = \hat{G}^0(z, z'; x - x')$ с компонентами

$$E_\alpha^0(\boldsymbol{\rho}) = E_\alpha^0(z, Q) e^{iQx}, \quad (5)$$

$$G_{\alpha\beta}^0(\boldsymbol{\rho}, \boldsymbol{\rho}') = \int_{-\infty}^{\infty} \frac{dk}{2\pi} e^{ik(x-x')} g_{\alpha\beta}^0(z, z'; k). \quad (6)$$

Поле (5) вычисляется при учете падающей волны (1). Амплитуды Фурье в выражениях (5) и (6), удовлетворяющие максвелловским граничным условиям по *z* на резких границах раздела сред, получены в Приложении 1.

Уравнение (4) определяет электрическое поле \mathbf{E} при наличии неоднородной диэлектрической поляризации $\mathbf{P}^I + \mathbf{P}^{II}$, где вклад \mathbf{P}^I связан с зондом, а \mathbf{P}^{II} — с намагниченностью образца. Поляризация $\mathbf{P}^I + \mathbf{P}^{II}$, в которой $|\mathbf{P}^{II}| \ll |\mathbf{P}^I|$, является возмущением. Последовательный учет вкладов \mathbf{P}^I и \mathbf{P}^{II} дает решение уравнений (2)–(4), как описано в работах [8] и Приложении 2.

Поляризация цилиндра невозмущенным полем $\mathbf{E}^0(\boldsymbol{\rho})$ определяется в самосогласованном приближении, которое дает

$$P_\alpha^I(\boldsymbol{\rho}, \omega) = \chi^{(\alpha)}(\omega) \delta(\boldsymbol{\rho} - \boldsymbol{\rho}_0) E_\alpha^0(\boldsymbol{\rho}_0, \omega). \quad (7)$$

Здесь наличие дельта-функции означает, что поперечные размеры зонда *a* малы по сравнению с масштабом $\sim 1/k_0$, на котором поле \mathbf{E}^0 меняется у поверхности. В отсутствие намагниченности ($\mathbf{P}^{II} = 0$) учет поляризации (7) с компонентами поляризуемости $\delta_{\alpha\beta} \chi^{(\alpha)}$ по аналогии с [13] дает для поля и функции Грина соотношения

$$\mathbf{E}^I(\boldsymbol{\rho}) = \mathbf{E}^0(\boldsymbol{\rho}) + \hat{G}^0(\boldsymbol{\rho}, \boldsymbol{\rho}_0) \hat{\chi} \mathbf{E}^0(\boldsymbol{\rho}_0), \quad (8)$$

$$\hat{G}^I(\boldsymbol{\rho}, \boldsymbol{\rho}') = \hat{G}^0(\boldsymbol{\rho}, \boldsymbol{\rho}') + \hat{G}^0(\boldsymbol{\rho}, \boldsymbol{\rho}_0) \hat{\chi} \hat{G}^0(\boldsymbol{\rho}_0, \boldsymbol{\rho}'). \quad (9)$$

В первом порядке по нерезонансной магнитооптической поляризации

$$P_\alpha^{II}(\boldsymbol{\rho}) = \sum_\beta \frac{\Delta\epsilon_{\alpha\beta}^{II}(\boldsymbol{\rho})}{4\pi} E_\beta(\boldsymbol{\rho}) \quad (10)$$

получаем решение уравнения (4) в виде

$$\mathbf{E}(\boldsymbol{\rho}) \cong \mathbf{E}^I(\boldsymbol{\rho}) + \int d\rho_1 \hat{G}^I(\boldsymbol{\rho}, \boldsymbol{\rho}_1) \frac{\Delta \hat{\varepsilon}^{II}(\boldsymbol{\rho}_1)}{4\pi} \mathbf{E}^I(\boldsymbol{\rho}_1). \quad (11)$$

Поле $\mathbf{E} - \mathbf{E}^I$, удовлетворяющее условию $|\mathbf{E} - \mathbf{E}^I| \ll |\mathbf{E}^I|$, описывает магнитооптические эффекты в линейном приближении по намагниченности.

После подстановки (8) и (9) в (11) для поля излучения, возбуждаемого падающей p -поляризованной волной вида (1), получаем (ср. с [13])

$$E_\alpha(\boldsymbol{\rho}) - E_{p,\alpha}^{\text{inc}}(\boldsymbol{\rho}) = \sum_{n=0}^3 E_\alpha^{(n)}(\boldsymbol{\rho}). \quad (12)$$

Здесь поле $\mathbf{E}^{(0)} = \mathbf{E}^0 - \mathbf{E}_p^{\text{inc}}$ зеркально отраженной p -поляризованной волны в отсутствие возмущения (7) и (10), равно

$$\mathbf{E}^{(0)}(\boldsymbol{\rho}) = r_p(Q) E_p^{\text{inc}}(\mathbf{e}_x \cos \theta + \mathbf{e}_z \sin \theta) e^{iQx - ik_1(Q)z}, \quad (13)$$

где в согласии с формулой (П1.8) из Приложения 1

$$r_p = \frac{\varepsilon_1 k_2 - \varepsilon_2 k_1}{\varepsilon_1 k_2 + \varepsilon_2 k_1} \quad (14)$$

— коэффициент отражения p -поляризованной волны (1), в котором

$$k_m(\kappa) = \sqrt{\varepsilon_m k_0^2 - \kappa^2}. \quad (15)$$

В общем случае вклады с $n \geq 1$ в (12) учитывают следующее. При рассеянии волны (1) на линейном зонде в геометрии рис. 1 поляризация света не меняется (рассеяние $\lambda \rightarrow \lambda$). Рассеяние, обусловленное тензором $\Delta \hat{\varepsilon}^{II}$ (намагниченностью), меняет поляризацию λ на ортогональную λ' (рассеяние $\lambda \rightarrow \lambda'$). В нанозонде светом возбуждаются только поперечные плазмоны при рассеянии $p \rightarrow p$ через поперечные компоненты поляризуемости $\chi^{(\alpha)}$ с $\alpha = x, z$. Как следствие, процессы рассеяния $p \rightarrow p$ резонансно усиливаются по сравнению с процессами $s \rightarrow s$ пропорционально добротности плазменного резонанса. Поэтому далее рассматривается возбуждение p -поляризованной волной (1), при котором в правой части (12) существенны следующие вклады [13]:

$$E_\alpha^{(1)}(\boldsymbol{\rho}) = \sum_\beta \hat{G}_{\alpha\beta}^0(\boldsymbol{\rho}, \boldsymbol{\rho}_0) \chi^{(\beta)} E_\beta^0(\boldsymbol{\rho}_0), \quad (16)$$

$$E_\alpha^{(2)}(\boldsymbol{\rho}) = \sum_{\beta,\gamma} \int d\rho_1 \hat{G}_{\alpha\beta}^0(\boldsymbol{\rho}, \boldsymbol{\rho}_1) \frac{\Delta \hat{\varepsilon}_{\beta\gamma}^{II}(\boldsymbol{\rho}_1)}{4\pi} E_\gamma^0(\boldsymbol{\rho}_1), \quad (17)$$

$$E_\alpha^{(3)}(\boldsymbol{\rho}) = \sum_{\beta,\gamma,\delta} \left[\int d\rho_1 \hat{G}_{\alpha\beta}^0(\boldsymbol{\rho}, \boldsymbol{\rho}_1) \frac{\Delta \hat{\varepsilon}_{\beta\gamma}^{II}(\boldsymbol{\rho}_1)}{4\pi} \hat{G}_{\gamma\delta}^0(\boldsymbol{\rho}_1, \boldsymbol{\rho}_0) \right] \times \chi^{(\delta)} E_\delta^0(\boldsymbol{\rho}_0). \quad (18)$$

Поле (16) отвечает упругому рассеянию света $p \rightarrow p$ комплексом „цилиндр + изображение“ ($\theta \rightarrow \theta'$

на рис. 1). Два других вклада определяют магнитооптическое преобразование поляризации $p \rightarrow s$. В частном случае латерально однородной намагниченности формула (17) соответствует магнитооптическому эффекту Керра в зеркальном отражении света. Выражение (18) описывает резонансное рассеяние $p \rightarrow p$, за которым следует магнитооптическое преобразование поляризации $p \rightarrow s$. Это магнитоиндуцированное рассеяние $Q \rightarrow \kappa \rightarrow Q'$ может включать затухающие волны с $|\kappa| \gg k_0$, необходимые для ближнеполевой оптики.

При возбуждении p -поляризованным светом в геометрии рис. 1 с намагниченностью $\mathbf{M} = \mathbf{e}_z M$ возмущение (10) определяется вкладом в диэлектрическую проницаемость

$$\Delta \varepsilon_{\alpha\beta}^{II}(\boldsymbol{\rho}) = -i \varepsilon_B \delta_{\alpha y} \delta_{\beta x} f_{\parallel}(x) f_{\perp}(z). \quad (19)$$

Здесь $\varepsilon_B(\omega)$ — магнитооптический параметр, а $f_{\parallel}(x)$ и $f_{\perp}(z)$ — распределения намагниченности вдоль поверхности образца и перпендикулярно ей.

3. Решение задачи рассеяния

Приведем общее решение задачи рассеяния при наличии неоднородной поляризации (7) и (10). Вклады с $n \geq 1$ в поле (12) обусловлены рассеянием $Q \rightarrow Q'$ падающей p -поляризованной волны (1) в волны с $\theta' \neq \theta$ (рис. 1). С учетом (6) в формулах (16)–(18) компоненты полей $\mathbf{E}^{(n)}$, касательные к поверхности $z = 0$, представляются в виде:

$$\frac{1}{E_p^{\text{inc}}} E_\alpha^{(n)}(\boldsymbol{\rho}) = \int_{-\infty}^{\infty} \frac{idk}{q} e^{ikx - ik_1(\kappa)z} F_\alpha^{(n)}(\kappa, Q; \boldsymbol{\rho}_0), \quad (20)$$

где $\alpha = x, y$. Вычисляя интеграл в (20) методом наискорейшего спуска [15], получаем

$$\frac{1}{E_p^{\text{inc}}} E_\alpha^{(n)}(\boldsymbol{\rho}) = \sqrt{2\pi i} \frac{e^{iq\rho}}{\sqrt{q\rho}} F_\alpha^{(n)}(Q', Q; \boldsymbol{\rho}_0) \cos \theta' \quad (21)$$

для рассеяния $Q \rightarrow Q'$ в волновую зону ($k_0\rho \gg 1$, где $\boldsymbol{\rho} = (x, z)$ — радиус-вектор точки наблюдения). Здесь $\sin \theta' = x/\rho$, $\cos \theta' = |z|/\rho$, угол θ' для рассеянного света отсчитывается от отрицательного направления оси z (рис. 1). Знак угла θ' совпадает со знаком проекции $Q' = q \sin \theta'$ волнового вектора

$$\mathbf{K}' = q(\mathbf{e}_x \sin \theta' - \mathbf{e}_z \cos \theta') \quad (22)$$

на ось x . Изменение этой проекции в выражении (21) при рассеянии удовлетворяет условиям $|Q'| \sim Q \lesssim q$. Цилиндрическую волну с касательными компонентами (21) разложим на линейно поляризованные волны

$$\mathbf{E}'_p = -E'_p(\mathbf{e}_x \cos \theta' + \mathbf{e}_z \sin \theta'), \quad \mathbf{E}'_s = E'_s \mathbf{e}_y \quad (23)$$

с волновым вектором (22). В терминах (21) получаем $E'_p = -E'_x / \cos \theta'$ для p — поляризованной и $E'_s = E'_y$ для

s -поляризованной рассеянных волн. Используя результаты из Приложения 1, вычислим амплитуды $F_\alpha^{(n)}$ в (21) для разных процессов рассеяния $Q \rightarrow Q'$.

3.1. Рассеяние света приповерхностной нанопроволокой. Для поля (16) в форме (21) получаем

$$F_x^{(1)}(Q', Q; \rho_0) = k_0^2 e^{-i(Q'-Q)x_0} \left[h_p^+(Q', z_0) \chi^{(x)} h_p^+(Q, z_0) \times \cos \theta' \cos \theta - h_p^-(Q', z_0) \chi^{(z)} h_p^-(Q, z_0) \sin \theta' \sin \theta \right], \quad (24)$$

где

$$h_p^\pm(\kappa, z) = e^{ik_1(\kappa)z} \pm r_p(\kappa) e^{-ik_1(\kappa)z}. \quad (25)$$

Амплитуда (24) определяет эффективность упругого рассеяния света $p, Q \rightarrow p, Q'$ комплексом „цилиндр + изображение“.

3.2. Рассеяние света магнитной неоднородностью. Из выражений (17) и (19) для магнитооптического рассеяния света $p, Q \rightarrow s, Q'$ в отсутствие зонда находим

$$F_y^{(2)}(Q', Q) = -\frac{i\varepsilon_B k_0^2 \cos \theta}{4\pi \cos \theta'} \times t_s(Q') t_p(Q) I_{\parallel}(Q' - Q) I_{\perp}(Q', Q). \quad (26)$$

Здесь $t_s(\kappa) = 2k_1/(k_1 + k_2)$, $t_p = 1 + r_p$,

$$I_{\parallel}(\kappa) = \int_{-\infty}^{\infty} dx f_{\parallel}(x) e^{-i\kappa x}, \quad (27)$$

$$I_{\perp}(\kappa', \kappa) = \int_0^{\infty} dz f_{\perp}(z) e^{i[k_2(\kappa') + k_2(\kappa)]z_1}. \quad (28)$$

3.3. Ближнеполевое магнитооптическое рассеяние. Процесс рассеяния $p, Q \rightarrow p, \kappa \rightarrow s, Q'$ из (18) включает в качестве промежуточных состояний коротковолновые затухающие волны с $|\kappa| \gg q > Q$, $|Q'|$. Из выражений (18) с учетом (19) в выражении (21) получаем

$$F_y^{(3)}(Q', Q; \rho_0) = \frac{\varepsilon_B k_0^2}{2\varepsilon_1 \cos \theta'} t_s(Q') \left[J_x(Q'; \rho_0) \chi^{(x)} \times h_p^+(Q, z_0) \cos \theta - J_z(Q'; \rho_0) \chi^{(z)} h_p^-(Q, z_0) \sin \theta \right] e^{iQx_0} \quad (29)$$

для полярного ближнеполевого магнитооптического эффекта Керра в рассеянии. Здесь

$$J_\alpha(Q', \rho_0) = \int_{-\infty}^{\infty} \frac{d\kappa}{2\pi} e^{-i\kappa x_0 - ik_1(\kappa)z_0} t_p(\kappa) I_{\parallel}(Q' - \kappa) \times I_{\perp}(Q', \kappa) [k_1(\kappa) \delta_{\alpha x} - \kappa \delta_{\alpha z}]. \quad (30)$$

В случае $f_{\parallel}(x) = -1$ (латерально однородная намагниченность) и $I_{\parallel}(Q' - \kappa) = -2\pi \delta(Q' - \kappa)$ в (27) из формулы (30) следует

$$\bar{J}_\alpha(Q', \rho_0) = -q e^{-iq(x_0 \sin \theta' + z_0 \cos \theta')} t_p(Q') I_{\perp}(Q', Q') \times (\delta_{\alpha x} \cos \theta' - \delta_{\alpha z} \sin \theta') \quad (31)$$

для полярного магнитооптического эффекта Керра в зеркальном отражении ($\theta' = \theta$).

4. Поляризуемость цилиндрической нанопроволоки вблизи поверхности

4.1. Цилиндр в однородной среде. Для линейного нанозонда в виде бесконечного тонкого цилиндра в однородной среде компоненты $\delta_{\alpha\beta} X^{(\alpha)}(\omega)$ диагонального тензора поляризуемости обычно вычисляются как отклик на внешнее поле [16,17]. Тензор поперечной поляризуемости кругового цилиндра обладает аксиальной симметрией: $X^{(x)} = X^{(z)} = X^0$.

При падении на круговой цилиндр волны $\mathbf{E}^{\text{ext}} = \mathbf{e}_x E^{\text{ext}}$, линейно поляризованной перпендикулярно его оси y , поле излучения разлагается по угловым гармоникам $\exp(im\theta)$ [17]. Симметричная компонента с $m = 1$ поля излучения диполя $\mathbf{d} = \mathbf{e}_x d$ имеет вид

$$\mathbf{E}'(\rho) = \frac{2d}{\rho^2} (\mathbf{e}_\rho \sin \theta - \mathbf{e}_\theta \cos \theta).$$

Для компонент поляризуемости X^0 диполя $d = X^0 E^{\text{ext}}$, приходящейся на единицу длины кругового цилиндра, в квазистатическом приближении ($k_0 a \rightarrow 0$) получаем

$$X^0(\omega) = \frac{a^2}{2} \frac{\varepsilon - \varepsilon_1}{\varepsilon + \varepsilon_1}, \quad (32)$$

где ε_1 — проницаемость среды, окружающей цилиндр. Для металлического цилиндра условие $\text{Re } \varepsilon(\omega) + \varepsilon_1 = 0$ из резонансного знаменателя (32) определяет частоту дважды вырожденных плазмонов, поляризованных перпендикулярно оси цилиндра [18].

4.2. Эффект сил изображения для цилиндра. Поле вблизи цилиндра в слоистой среде (рис. 1) дается формулой (8). Входящие в нее компоненты $\chi^{(\alpha)}(\omega)$ тензора эффективной поляризуемости цилиндра, определяются из уравнений

$$\chi^{(\alpha)}(\omega) = X^{(\alpha)}(\omega) + X^{(\alpha)}(\omega) \Delta G_{\alpha\alpha}(\rho_0, \rho_0; \omega) \chi^{(\alpha)}(\omega), \quad (33)$$

которые получены в тензорной форме (П2.5) в Приложении 2. Здесь $\Delta \hat{G} = \hat{G}^0 - \hat{G}^{\text{hom}}$ — общее решение граничной задачи (3) в среде с диэлектрической функцией $\varepsilon^0(z)$, \hat{G}^{hom} — решение неоднородного уравнения (3)

в однородной среде с проницаемостью ϵ_1 . Из (33) с учетом представлений (6) и (П1.10), находим поперечные компоненты тензора поляризуемости комплекса „цилиндр + изображение“

$$\chi^{(\alpha)} = (1/X^0 - \sigma^{(\alpha)})^{-1}, \quad (34)$$

где $\sigma^{(\alpha)}(z_0) = \Delta G_{\alpha\beta}^0(\rho_0, \rho_0)$.

Подставив $\Delta g_{\alpha\alpha}$ из (П1.2) и (П1.5) в формулу (6), получаем

$$\sigma^{(\alpha)}(z_0) = \frac{2i}{\epsilon_1} \int_0^\infty dk r_p(\kappa) k_1(\kappa) e^{-2ik_1(\kappa)z_0} \left(\delta_{\alpha x} - \frac{\kappa^2}{k_1^2(\kappa)} \delta_{\alpha z} \right). \quad (35)$$

Коэффициент отражения p -поляризованного света $r_p(\kappa)$ и $k_m(\kappa)$ определяются формулами (14) и (15). Пренебрегая в (35) запаздыванием при $k_0|z_0| \ll 1$, находим

$$\sigma^{(\alpha)} = -(\delta_{\alpha x} + \delta_{\alpha z}) \frac{2\tilde{r}_p}{\epsilon_1} \int_0^\infty dk \kappa e^{-2\kappa|z_0|}. \quad (36)$$

Здесь учтено, что основной вклад в интеграл дает область с $|\kappa| \sim 1/|z_0| \gg k_0$, в которой $k_m(\kappa) \approx i|\kappa|$, и $\tilde{r}_p(\kappa) = (\epsilon_1 - \epsilon_2)/(\epsilon_1 + \epsilon_2)$. После интегрирования (36) принимает вид

$$\sigma^{(\alpha)} = -(\delta_{\alpha x} + \delta_{\alpha z}) \frac{1}{2|z_0|^2} \frac{\epsilon_1 - \epsilon_2}{\epsilon_1(\epsilon_1 + \epsilon_2)}. \quad (37)$$

Подстановка соотношений $\sigma^{(x)} = \sigma^{(z)}$ из (37) в (34) показывает, что изотропия поляризуемости цилиндра сохраняется при учете эффекта сил изображения в квазистатическом приближении, в отличие от сферы [8]. Отметим, что в согласии с (37) в формулах (18) и (21) работы [12] следует изменить знак величины $\sigma^{(z)}$; при этом в [12] исключается дублетная структура спектра на рис. 3, а и соответствующая осцилляция на рис. 5, а.

Заметим, что формально подобные результаты можно получить на основе выражения для поперечных компонентов поляризуемости [16]

$$X^{(\alpha)} = \frac{a^2 b}{3} \frac{\epsilon - \epsilon_1}{\epsilon n^{(x)} + \epsilon_1(1 - n^{(x)})} \quad (38)$$

вытянутого эллипсоида вращения (иглы) с длинной полуосью b в направлении оси u (рис. 1). Эллипсоид находится в однородной среде с проницаемостью ϵ_1 и имеет поперечные коэффициенты деполяризации $n^{(x)} = n^{(z)}$ в направлении коротких полуосей длиной a . Если выражение (38) нормировать на длину $4b/3$, то результат совпадает с (32) при условиях $b/a \gg 1$ и $n^{(x)} \rightarrow 1/2$. Однако следует подчеркнуть, что формула (38) получена в [16] в электростатическом приближении, т.е. при $a \ll b \ll 1/k_0$.

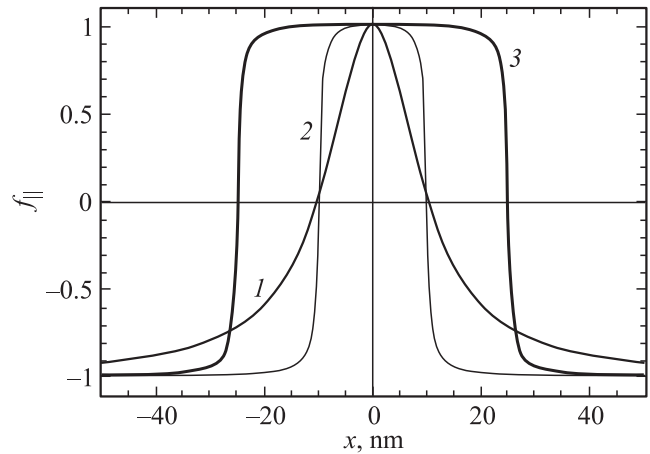


Рис. 2. Функция $\delta f_{\parallel}(x) - 1$, формула (40), при следующих значениях параметров (w, Δ) в нм: 1 — (2, 10), 2 — (10, 0.5), 3 — (25, 0.5).

5. Модель неоднородной намагниченности

Поля (17) и (18), зависящие от $\Delta \epsilon^{\text{II}}(\rho)$, определяются представлением Фурье (27) распределения $f_{\parallel}(x)$ намагниченности. В формуле (19) примем

$$f_{\parallel}(x) = \delta f_{\parallel}(x) + \bar{f}_{\parallel}, \quad (39)$$

где $\delta f_{\parallel}(x)$ соответствует неоднородному вкладу в намагниченность, а \bar{f}_{\parallel} — однородному (не зависящему от x). В (39) используем модельную функцию

$$\delta f_{\parallel}(x) = \frac{1}{\text{arctg}(w/\Delta)} \left[\text{arctg}\left(\frac{x+w}{\Delta}\right) - \text{arctg}\left(\frac{x-w}{\Delta}\right) \right]. \quad (40)$$

Функция (39) с $\delta f_{\parallel}(x)$ из (40) и $\bar{f}_{\parallel} = -1$ представлена на рис. 2. Из него видно, что $f_{\parallel}(x) = 1$ в центре домена $x = 0$ и $f_{\parallel}(x) \rightarrow -1$ при $|x| \rightarrow \infty$. Для этой функции представление Фурье (27) имеет вид

$$I_{\parallel}(\kappa) = 2\pi \left[\frac{1}{\text{arctg}(w/\Delta)} \frac{\sin(\kappa w)}{\kappa} e^{-|\kappa|\Delta} - \delta(\kappa) \right], \quad (41)$$

или $I_{\parallel}(\kappa) = \delta I_{\parallel}(\kappa) - 2\pi\delta(\kappa)$. С учетом представления

$$\lim_{w \rightarrow \infty} \frac{\sin(\kappa w)}{\kappa} = \pi\delta(\kappa)$$

находим, что $I_{\parallel}(\kappa) = 2\pi\delta(\kappa)$ при $w \rightarrow \infty$.

Для ультратонкого слоя толщиной l ($\ll 1/k_0$) с полярной намагниченностью $\mathbf{M} \parallel \mathbf{e}_z$ примем $f_{\perp}(z) = l\delta(z - z_1)$ [19,20] ($z_1 > 0$ на рис. 1). Тогда

$$I_{\perp}(Q', \kappa) = l e^{i[k_2(Q') + k_2(\kappa)]z_1} \quad (42)$$

в (28). При $\delta f_{\parallel} = 0$ с учетом (42) получаем (31) с $I_{\perp}(Q', Q') = l \exp[2ik_2(Q')z_1]$. Интегрируя (30) в ква-

зистатическом (при $|z_0| \ll 1/k_0$) приближении с учетом (40)–(42), получаем

$$\delta J_\alpha(Q'; \rho_0) = \frac{i\tilde{t}_p}{\arctg(w/\Delta)} \left\{ \delta_{\alpha x} [L_x(x_0 + w, H) - L_x(x_0 - w, H)] - \delta_{\alpha z} [L_z(x_0 + w, H) - L_z(x_0 - w, H)] \right\}, \quad (43)$$

где $H = |z_0| + z_1 + \Delta$, $\tilde{t}_p = 2\varepsilon_1/(\varepsilon_1 + \varepsilon_2)$ и

$$L_\alpha(X, Z) = [\delta_{\alpha x} X + \delta_{\alpha z} Z](X^2 + Z^2)^{-1}. \quad (44)$$

При $w/\Delta \ll 1$ выражения (43) и (44) переходят в

$$\delta J_\alpha(Q'; \rho_0) = 2i\tilde{t}_p \Delta \frac{1}{(X^2 + Z^2)^2} [(Z^2 - X^2)\delta_{\alpha x} + 2XZ\delta_{\alpha z}], \quad (45)$$

где $X = x_0$ и $Z = |z_0| + z_1 + \Delta$ (ср. с [13]).

6. Магнитооптическая модуляция интенсивности

Рассеяние света в схеме, представленной на рис. 1, может быть связано с зондом и магнитным доменом, имеющими субволновые размеры. Наблюдаемыми магнитооптическими величинами в волновой зоне могут быть сечение (интенсивность) и эллипсометрические параметры упруго рассеянного света, зависящие от поляризации.

Найдем интенсивность рассеяния p -поляризованной волны (1) в волну с вектором линейной поляризации $\mathbf{e}'_\Omega = \mathbf{e}'_p \cos \Omega + \mathbf{e}'_s \sin \Omega$, перпендикулярным волновому вектору (22). Орг \mathbf{e}'_Ω с $\mathbf{e}'_p = -(\mathbf{e}_x \cos \theta' + \mathbf{e}_z \sin \theta')$ и $\mathbf{e}'_s = \mathbf{e}_y$ лежит в плоскости анализатора, образующей угол Ω с плоскостью падения (рассеяния) света. Отношение интенсивности излучения волны с вектором поляризации \mathbf{e}'_Ω при $k_0\rho \gg 1$ к интенсивности падающего потока дает безразмерное дифференциальное сечение рассеяния света единицей длины цилиндра L

$$S = \frac{1}{2La} \frac{d\sigma'_\Omega}{d\theta'} = \frac{\rho}{2a} \left| \frac{E'_p \cos \Omega + E'_s \sin \Omega}{E_p^{\text{inc}}} \right|^2 \quad (46)$$

в элемент угла $d\theta'$ при условии $|E'_s| \ll |E'_p|$. При учете (21), (24)–(30) получаем три вклада в (46)

$$S_0 + \bar{S} + \delta S(x_0) = \frac{\pi}{qa} |F_x^{(1)} \cos \Omega - F_y^{(3)} \sin \Omega \cos \theta'|^2. \quad (47)$$

Для цилиндра, находящегося вблизи границы раздела сред, в отсутствие намагниченности ($\mathbf{M} = 0$, $F_y^{(3)} = 0$) получаем сечение рассеяния света $p \rightarrow p$

$$S_0 = \frac{\pi}{qa} |F_x^{(1)}|^2 \cos^2 \Omega. \quad (48)$$

Для модуляции величины (47) намагниченностью \mathbf{M} при наличии зонда находим

$$\bar{S} + \delta S(x_0) = -\frac{\pi \cos \theta'}{qa} \times \text{Re}[(F_x^{(1)})^* (\bar{F}_y^{(3)} + \delta F_y^{(3)}(x_0))] \sin 2\Omega. \quad (49)$$

В соответствии с представлением (39) величины \bar{S} и $\delta S(x_0)$ связаны с латерально однородной и неоднородной намагниченностью соответственно.

7. Численные результаты и обсуждение

Наблюдаемые величины (48) и (49) рассчитывались для конфигурации, показанной на рис. 1, при оптимальном угле $\Omega = 45^\circ$. Использовались диэлектрические функции $\varepsilon(\omega)$ для нанопроволоки Ag и $\varepsilon_2(\omega)$ для образца Au из [21], а также величины $\varepsilon_B(\omega)$ для слоя Co из [22].

На рис. 3 показаны нормированные спектры поглощения изолированного серебряного цилиндра $\text{Im} X^0(\omega)/a^2$ и того же цилиндра $\text{Im} \chi^{(\alpha)}(\omega)/a^2$ вблизи поверхности Au. Резкий пик в спектре $\text{Im} X^0(\omega)$, принадлежащий плазмонам цилиндра, испытывает красный сдвиг вблизи поверхности. Этот пик проявляется и в спектре S_0 упругого рассеяния света $p \rightarrow p$ приповерхностным цилиндром в волну, поляризованную в плоскости анализатора.

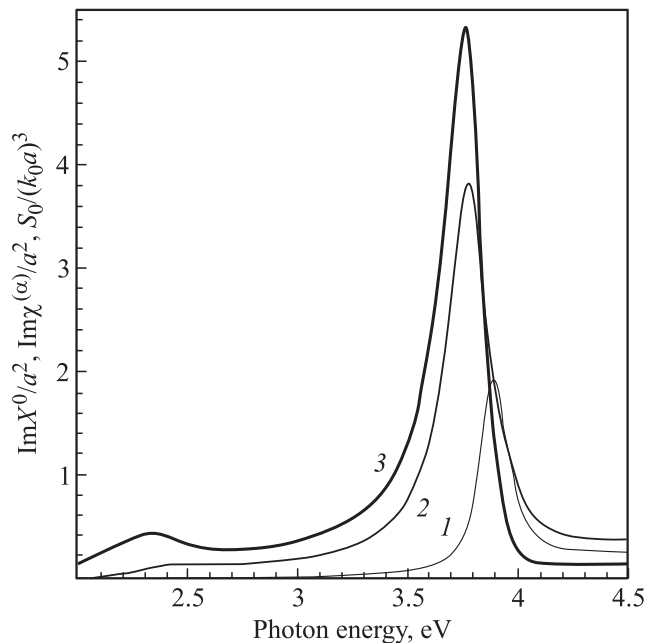


Рис. 3. Нормированные спектры поглощения света цилиндром Ag в вакууме $\text{Im} X^0/a^2$ (1) и вблизи поверхности Au $\text{Im} \chi^{(\alpha)}/a^2$ (2), а также спектр S_0 упругого рассеяния $p \rightarrow p$ приповерхностным цилиндром при $\theta = 0^\circ$ и $\theta' = 45^\circ$ (3). Вычислено с диэлектрическими функциями Ag и Au из [21] при $\Omega = \pi/4$, $\varepsilon_1 = 1$, $a = 4.5 \text{ nm}$, $z_0 = -5 \text{ nm}$.

На рис. 4 показаны магнитооптические спектры рассеяния \bar{S} и δS при $x_0 = 0$, обусловленные латерально однородной и неоднородной намагниченностью, а также

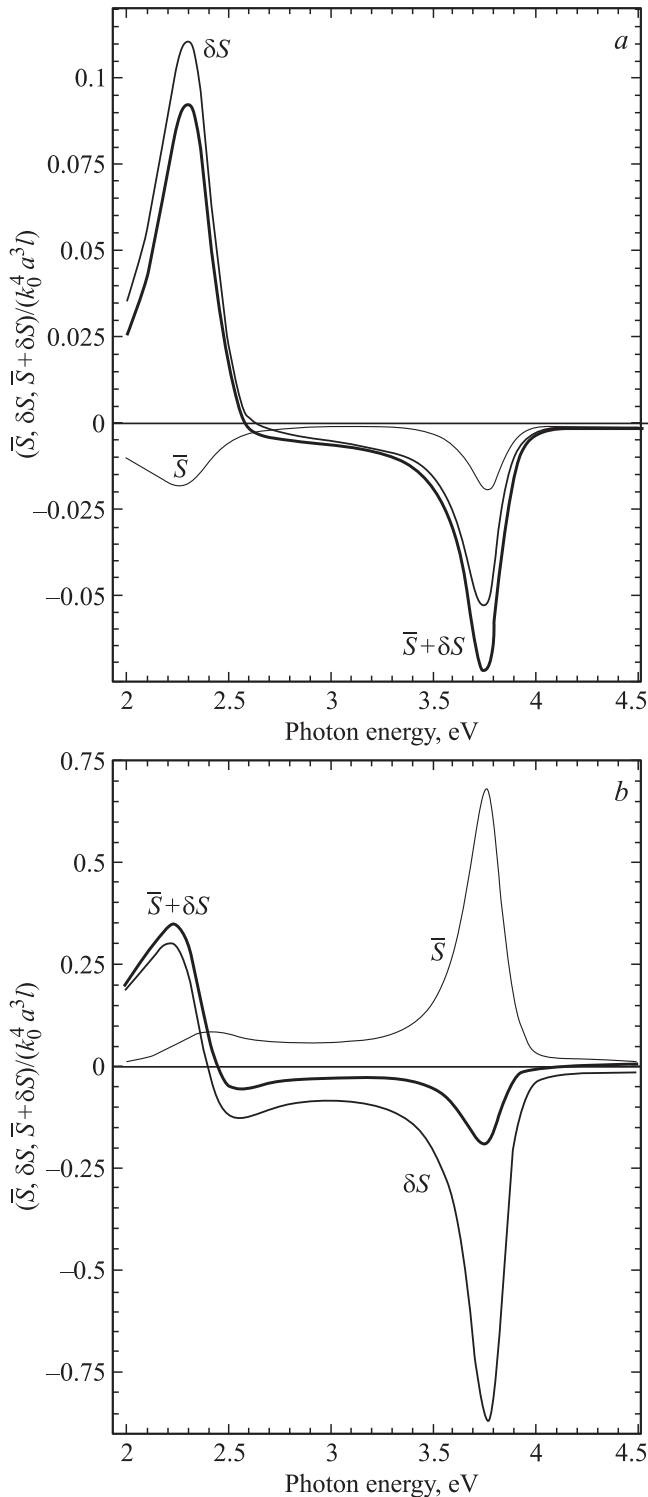


Рис. 4. Нормированные магнитооптические спектры \bar{S} , δS и $\bar{S} + \delta S$ рассеяния, где \bar{S} и δS — вклады латерально однородной и неоднородной намагниченности соответственно. Вычислено с $x_0 = 0$ при $\theta = 0^\circ$, $\theta' = 60^\circ$ (a) и $\theta = 30^\circ$, $\theta' = 45^\circ$ (b); остальные параметры те же, что на рис. 3.

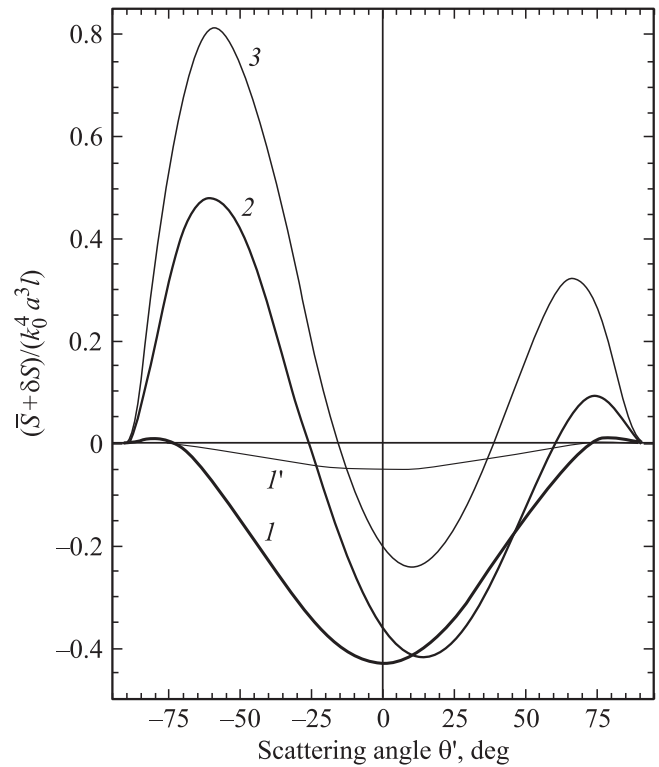


Рис. 5. Нормированные сечения магнитооптического рассеяния $\bar{S} + \delta S$ в зависимости от угла θ' при $\theta = 0^\circ$ (1), $\theta = 30^\circ$ (2) и $\theta = 60^\circ$ (3) в плазменном резонансе ($\hbar\omega = 3.75$ eV) и $\theta = 0^\circ$ (1') — вне резонанса ($\hbar\omega = 3.3$ eV). Вычислено при $x_0 = 0$ с теми же параметрами, что на рис. 3 и 4.

их сумма $\bar{S} + \delta S$. Из рис. 4, a и b видно, что при резонансном возбуждении плазмонов в серебряной нанопроволоке и на поверхности образца Au интенсивностные характеристики \bar{S} и δS существенно усиливаются по сравнению с их значениями вдали от резонанса. Это усиление аналогично наблюдавшемуся усилению магнитооптического эффекта Керра при возбуждении поверхностных плазмонных поляритонов [6,10,19]. Интенсивностные характеристики (48) и (49) усиливаются $\sim |\chi^{(\alpha)}(\omega)|^2$, так как, согласно (24) и (29), $F_x^{(1)} \sim \chi^{(x)}$, $F_y^{(3)} \sim \chi^{(x)}$, поскольку $\chi^{(x)} = \chi^{(z)}$.

На рис. 5 показаны зависимости от угла рассеяния θ' значений $\bar{S} + \delta S$ при $x_0 = 0$ и разных θ для нанопроволоки Ag. Сравнение симметричных угловых зависимостей 1 и 1' при нормальном падении показывает наличие существенного плазмонного усиления в резонансе (3.75 eV) по сравнению со значением вне резонанса (3.3 eV). Заметим, что углы вблизи $\theta' = \theta$ следует исключить, так как при этом условии рассеяние будет маскироваться существенно большим по величине магнитооптическим вкладом в коэффициент зеркального отражения.

Зависимости магнитооптического отклика $\bar{S} + \delta S(x_0)$ от координаты сканирования x_0 , которые интерпретируются как магнитооптический контраст или изображение

домена, показаны на рис. 6, *a* и *b*. Они относятся к колоколообразному нанодомену с латеральным распределением намагниченности f_{\parallel} из (40), которое показано кривыми 3 на рис. 6, *a* и *b*. На рис. 6, *a* положение и форма симметричных кривых 1 и 2 (изображение

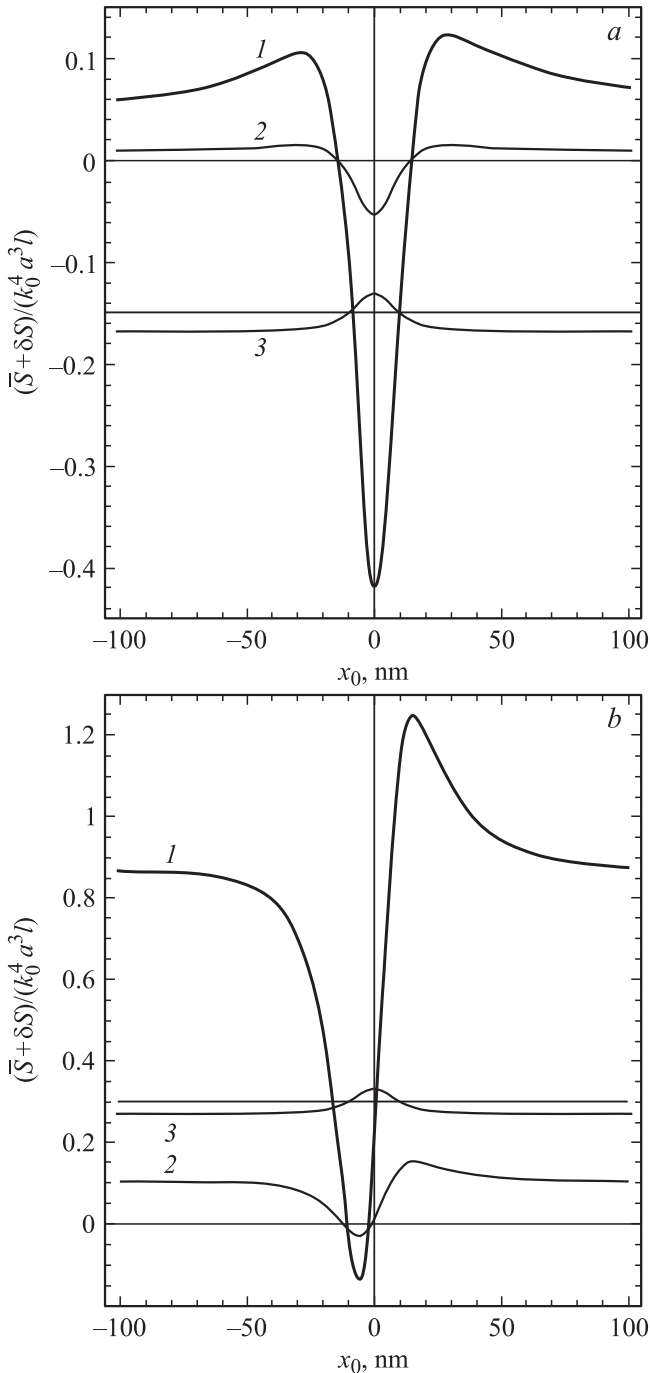


Рис. 6. Нормированное сечение магнитооптического рассеяния $\bar{S} + \delta S$ как функция координаты сканирования x_0 в плазменном резонансе $\hbar\omega = 3.75$ eV (1) и вне его при $\hbar\omega = 3.3$ eV (2) для распределения намагниченности (3). Вычислено при $\theta = 0^\circ$, $\theta' = 10^\circ$ (a) и $\theta = 45^\circ$, $\theta' = 60^\circ$ (b) с $\Delta = 10$ nm, $w = 2$ nm; остальные параметры те же, что на рис. 3 и 4.

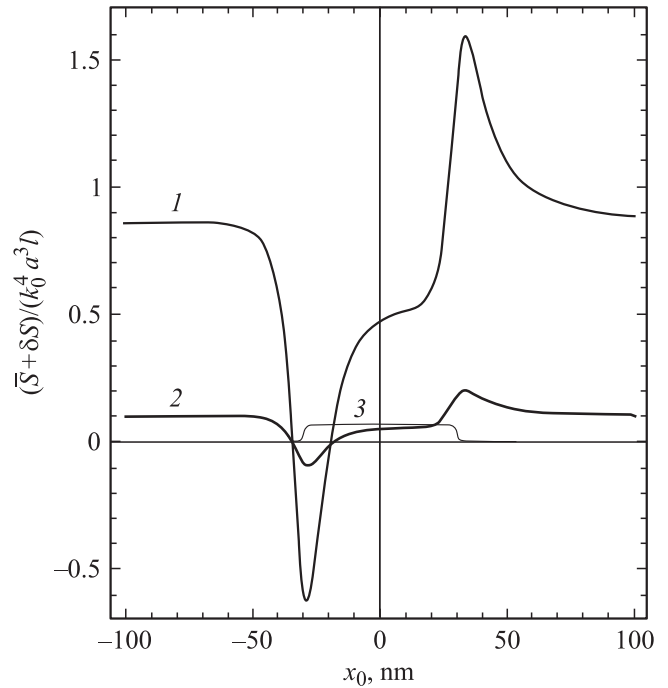


Рис. 7. Нормированное сечение магнитооптического рассеяния $\bar{S} + \delta S$ в зависимости от x_0 в плазменном резонансе $\hbar\omega = 3.75$ eV (1) и вне его при $\hbar\omega = 3.3$ eV (2) для распределения намагниченности (3). Вычислено при $\theta = 45^\circ$, $\theta' = 60^\circ$, $\Delta = 0.5$ nm, $w = 30$ nm; остальные параметры те же, что на рис. 3 и 4.

домена) находятся в хорошем согласии с положением и формой функции f_{\parallel} . При возбуждении плазменного резонанса с энергией 3.75 eV в нанопроволоке величина магнитооптического сигнала существенно больше, чем вне резонанса (3.3 eV). Этот эффект усиления может быть использован для повышения чувствительности микроскопа. Из рис. 6, *b* видно, что при наклонном падении света изображение домена сдвигается. Рис. 7 показывает, что для расширенного домена (кривая 3) зависимость отклика от x_0 (изображение домена) становится более сложной. Однако выводы, касающиеся его формы и усиления плазмонами, в одинаковой мере относятся к рис. 6 и 7.

Зависимость керровского вращения $\Phi = \text{Re}(E'_s/E'_p)$ [12] от x_0 имеет вид, подобный кривым, представленным на рис. 6. Однако для эллипсометрических величин в случае цилиндрического зонда резонансное усиление плазмонами отсутствует. Причина заключается в том, что, согласно (24), (29), (34) и (37), компоненты поля E'_s и E'_p имеют одинаковую резонансную зависимость, которая исчезает в отношении E'_s/E'_p , определяющем углы керровского вращения и эллиптичности.

8. Заключение

Выше представлена теория магнитооптического резонансного упругого рассеяния света с помощью линейно-

го нанозонда, сканирующего неоднородный магнитный слой. Систематика магнитооптических эффектов Керра в рассеянии поляризованного света линейным зондом такая же, как для эффектов Керра в зеркальном отражении света. Подробно исследован случай ближнеполевой магнитооптики и сканирующей микроскопии ультратонкого приповерхностного слоя с полярной (по нормали к слою) латерально неоднородной намагниченностью. Найдено, что поляризационные и спектрально-угловые особенности магнитооптического рассеяния в случае линейного зонда (нанопроволоки) существенно иные, чем исследованные ранее для квазиточечного зонда (наночастицы). Предсказывается резонансное изменение интенсивности ближнеполевых магнитооптических эффектов Керра в рассеянии, в частности, их усиление при возбуждении поверхностных плазмонов в нанопроволоке. Этот эффект усиления можно применить для повышения чувствительности сканирующей микроскопии. Исследован магнитооптический отклик, определяющий изображение латерального магнитного нанодомена в сканирующей ближнеполевой микроскопии, оценено разрешение микроскопии.

Приложение 1. Решение невозмущенной граничной задачи (2), (3) для амплитуд Фурье $E_\alpha^0(z, Q)$ из (5) и $g_{\alpha\beta}^0(z, z'; \kappa)$ из (6) при $\varepsilon^0(z) = \varepsilon_1 \vartheta(-z) + \varepsilon_2 \vartheta(z)$, где $\vartheta(z) = 0$ для $z < 0$ и $\vartheta(z) = 1$ для $z > 0$, имеет вид:

$$E_x^0(1) = E_p^{\text{inc}} \{ e^{ik_1 z} + r_p e^{-ik_1 z} \} \cos \theta, \quad E_z^0(1) = \frac{ik}{k_1^2} \frac{dE_x^0(1)}{dz}, \quad (\text{П1.1})$$

$$g_{xx}^0(1, 1') = \frac{2\pi i k_1}{\varepsilon_1} \{ e^{ik_1 |z-z'|} + r_p e^{-ik_1(z+z')} \}, \quad (\text{П1.2})$$

$$g_{zx}^0(1, 1') = -\frac{2\pi i k}{\varepsilon_1} \{ e^{ik_1 |z-z'|} \text{sgn}(z-z') - r_p e^{-ik_1(z+z')} \}, \quad (\text{П1.3})$$

$$g_{xz}^0(1, 1') = -\frac{2\pi i k}{\varepsilon_1} \{ e^{ik_1 |z-z'|} \text{sgn}(z-z') + r_p e^{-ik_1(z+z')} \}, \quad (\text{П1.4})$$

$$g_{zz}^0(1, 1') = \frac{2\pi i k^2}{\varepsilon_1 k_1} \{ e^{ik_1 |z-z'|} - r_p e^{-ik_1(z+z')} \} - \frac{4\pi}{\varepsilon_1} \delta(z-z'), \quad (\text{П1.5})$$

$$g_{xx}^0(2, 1') = \frac{2\pi i k_1}{\varepsilon_1} t_p e^{ik_2 z} e^{-ik_1 z'} = -\frac{k_2}{\kappa} g_{zx}^0(2, 1') = -\frac{k_1}{\kappa} g_{xz}^0(2, 1') = \frac{k_1 k_2}{\kappa^2} g_{zz}^0(2, 1'), \quad (\text{П1.6})$$

$$g_{yy}^0(1, 2') = \frac{2\pi i k_0^2}{k_1} t_s e^{-ik_1 z + ik_2 z'}. \quad (\text{П1.7})$$

В (П1.1)–(П1.7) вместо аргументов z и z' указаны номера m и m' тех сред на рис. 1, в которые попадают z и z' соответственно. Коэффициенты преобразования

$$r_\lambda = \frac{\eta_1^\lambda - \eta_2^\lambda}{\eta_1^\lambda + \eta_2^\lambda}, \quad t_\lambda = \frac{2\eta_1^\lambda}{\eta_1^\lambda + \eta_2^\lambda} = 1 + r_\lambda \quad (\text{П1.8})$$

волны с λ -поляризацией на границе раздела сред выражаются через $k_m(\kappa)$ из (15) в виде

$$\eta_m^p(\kappa) = \frac{\varepsilon_m}{k_m(\kappa)}, \quad \eta_m^s(\kappa) = k_m(\kappa) \quad (\text{П1.9})$$

в случаях p - и s -поляризации соответственно. Заметим, что функции $g_{\alpha\beta}^0(1, 1')$ из (П1.2)–(П1.5) имеют вид:

$$g_{\alpha\beta}^0(z, z') = g_{\alpha\beta}^{\text{hom}}(z-z') + \Delta g_{\alpha\beta}(z, z'). \quad (\text{П1.10})$$

Здесь $g_{\alpha\beta}^{\text{hom}}(z-z')$ — частное решение неоднородного уравнения (3) для однородной среды с проницаемостью ε_1 , а $\Delta g_{\alpha\beta}(z, z')$ — общее решение однородного уравнения (3) в этой среде, удовлетворяющее максвелловским граничным условиям по z .

Приложение 2. Получим уравнение (33) для вычисления поляризуемости приповерхностного зонда. Используя метод функций Грина, выразим поле, индуцированное в однородной среде при возмущении поляризации $\mathbf{P} = \hat{\alpha} \cdot \mathbf{E}^{\text{tot}}$, в следующих эквивалентных формах [23]:

$$\mathbf{E}^{\text{tot}} - \mathbf{E}^{\text{ext}} = \hat{G}^{\text{hom}} \hat{\chi} \mathbf{E}^{\text{ext}} = \hat{G}^{\text{hom}} \hat{\alpha} \mathbf{E}^{\text{tot}}. \quad (\text{П2.1})$$

Внешнее поле \mathbf{E}^{ext} и функция Грина \hat{G}^{hom} определены для однородной среды с проницаемостью ε_1 , а полное поле \mathbf{E}^{tot} учитывает возмущение $\mathbf{P} = \hat{\alpha} \cdot \mathbf{E}^{\text{tot}}$ самосогласованным образом. Для слоя с проницаемостью ε_1 в многослойной среде аналогичные уравнения при наличии возмущения $\hat{\beta} \cdot \mathbf{E}^{\text{I}}$ имеют вид

$$\mathbf{E}^{\text{I}} - \mathbf{E}^{\text{O}} = \hat{G}^{\text{O}} \hat{\chi} \mathbf{E}^{\text{O}} = \hat{G}^{\text{O}} \hat{\beta} \mathbf{E}^{\text{I}}, \quad (\text{П2.2})$$

где первое равенство соответствует формуле (8).

Из уравнения (П2.1) для оператора, обратного оператору $\hat{\alpha}$, находим

$$\hat{\alpha}^{-1} = \hat{X}^{-1} + \hat{G}^{\text{hom}}, \quad (\text{П2.3})$$

а из (П2.2) получаем

$$\hat{\beta}^{-1} = \hat{\chi}^{-1} + \hat{G}^{\text{O}}. \quad (\text{П2.4})$$

Отклик на квазиоднородное полное поле, выражаемый тензором $\hat{\alpha}$ в формуле (П2.1) и $\hat{\beta}$ в (П2.2), считаем одинаковым, т.е. $\hat{\alpha} = \hat{\beta}$, или $\hat{\alpha}^{-1} = \hat{\beta}^{-1}$. Приравнявая (П2.3) и (П2.4) и умножая результат на \hat{X} слева и на $\hat{\chi}$ справа, получаем уравнение

$$\hat{\chi} = \hat{X} + \hat{X}(\hat{G}^{\text{O}} - \hat{G}^{\text{hom}})\hat{\chi}, \quad (\text{П2.5})$$

из которого следует (33). Функция $\hat{G}^{\text{O}} = \hat{G}^{\text{hom}} + \Delta \hat{G}$ получается в результате подстановки (П1.10) в (6).

Список литературы

- [1] P.J. Moyer, M.A. Paesler. Near-Field Optics: Theory, Instrumentation and Applications. Wiley (1996); C. Girard, A. Dereux, Rep. Prog. Phys. **59**, 657 (1996).
- [2] W.L. Barnes, A. Dereux, T.W. Ebbesen. Nature **424**, 824 (2003).

- [3] L. Novotny, S.J. Stranick. *Annu. Rev. Phys. Chem.* **57**, 303 (2006).
- [4] V.I. Safarov, V.A. Kosobukin, C. Hermann, G. Lampel, J. Peretti, C. Marliere. *Ultramicroscopy* **57**, 270 (1995).
- [5] T.J. Silva, S. Schultz, D. Weller. *Appl. Phys. Lett.* **65**, 658 (1994); T.J. Silva, S. Schultz. *Rev. Sci. Instrum.* **67**, 715 (1996).
- [6] V.I. Safarov, V.A. Kosobukin, C. Hermann, G. Lampel, J. Peretti, C. Marliere. *Phys. Rev. Lett.* **73**, 3584 (1994).
- [7] В.А. Кособукин. *ЖТФ* **68**, 86 (1998); P. Johansson, S.P. Apell, D.R. Penn. *Phys. Rev. B* **64**, 054411 (2001); J. Walford, J.-A. Porto, R. Carminati, J.-J. Greffet. *JOSA A* **19**, 572 (2002).
- [8] V.A. Kosobukin. *Proc. SPIE* **2535**, 9 (1995); *ФТТ* **39**, 560 (1997); *Surf. Sci.* **406**, 32 (1998).
- [9] M. Abe, T. Suwa. *Phys. Rev. B* **70**, 235 103 (2004); S. Tomita, T. Kato, S. Tsunashima, S. Iwata, M. Fujii, S. Hayashi. *Phys. Rev. Lett.* **96**, 167 402 (2006); *ibid.* **99**, 039 901 (2007).
- [10] V.A. Kosobukin. *J. Magn. Magn. Mater.* **153**, 397 (1996).
- [11] A. Madrazo, M. Nieto-Vesperinas. *JOSA A* **14**, 2768 (1997).
- [12] В.А. Кособукин. *ФТТ* **51**, 377 (2009).
- [13] В.А. Кособукин. *Письма в ЖТФ* **37**, 86 (2011); *Proc. SPIE* **7996**, 799 60F (2011).
- [14] A.A. Maradudin, D.L. Mills. *Phys. Rev. B* **11**, 1392 (1975); В.А. Кособукин. *Метод функций Грина в теории ближнеполевой оптики и сканирующей магнитооптической микроскопии*. Препринт № 1724, ФТИ им. А.Ф. Иоффе, СПб. (1999). 64 с.
- [15] Ф.М. Морс, Г. Фешбах. *Методы теоретической физики*, т. 1. ИИЛ, М. (1958). 930 с.
- [16] Л.Д. Ландау, Е.М. Лифшиц. *Электродинамика сплошных сред*. М. (1982). 620 с.
- [17] Г. Ван де Хюлст. *Рассеяние света малыми частицами*. ИИЛ, М. (1961). 536 с.
- [18] S.A. Pfeiffer, E.N. Economou, K.L. Ngai. *Phys. Rev. B* **10**, 3038 (1974); G.C. Aers, A.D. Boardman, P.B. Paranjape. *J. Phys. F: Metal Phys.* **10**, 53 (1980); В.А. Кособукин. *ФТТ* **22**, 1017 (1980).
- [19] C. Hermann, V.A. Kosobukin, G. Lampel, V.I. Safarov, J. Peretti, C. Bertrand. *Phys. Rev. B* **64**, 235 422 (2001).
- [20] R. Allenspach, M. Stampanoni, A. Bischof. *Phys. Rev. Lett.* **65**, 3344 (1990).
- [21] P.B. Johnson, R.W. Christy. *Phys. Rev. B* **6**, 4370 (1972).
- [22] Г.С. Кринчик, В.А. Артёмьев. *ЖЭТФ* **53**, 1901 (1967); M.B. Stearns. *Landolt-Börnstein-Group III Condensed Matter Numerical Data and Functional Relationships in Science and Technology*, V. 19a, 113 (1986).
- [23] E.N. Economou. *Green's Functions in Quantum Physics*. 2nd ed., Springer (1983). 314 p.